

# Capitolo 9

## Equilibri e stabilità

Considero le equazioni di Lagrange

$$\frac{d}{dt} \frac{\partial T}{\partial \dot{\mathbf{q}}}(\mathbf{q}, \dot{\mathbf{q}}) - \frac{\partial T}{\partial \mathbf{q}}(\mathbf{q}, \dot{\mathbf{q}}) = \mathbf{Q}(\mathbf{q}, \dot{\mathbf{q}}),$$

per vincoli fissi, cioè  $T = T_2 = \frac{1}{2} \dot{\mathbf{q}} \cdot A(\mathbf{q}) \dot{\mathbf{q}}$ , e per forze non dipendenti da  $t$ . Le equazioni di Lagrange si possono scrivere

$$A(\mathbf{q}) \ddot{\mathbf{q}} = \mathbf{F}(\mathbf{q}, \dot{\mathbf{q}})$$

con

$$\mathbf{F}(\mathbf{q}, \dot{\mathbf{q}}) = \mathbf{Q}(\mathbf{q}, \dot{\mathbf{q}}) + \frac{\partial T}{\partial \mathbf{q}}(\mathbf{q}, \dot{\mathbf{q}}) - \frac{d}{dt} [A(\mathbf{q})] \dot{\mathbf{q}}.$$

Queste equivalgono al sistema del primo ordine

$$\begin{cases} \dot{\mathbf{q}} = \mathbf{v} \\ \dot{\mathbf{v}} = A^{-1}(\mathbf{q}) \mathbf{F}(\mathbf{q}, \mathbf{v}) \end{cases} \quad (9.1)$$

Poichè  $\mathbf{F}(\mathbf{q}, \mathbf{0}) = \mathbf{Q}(\mathbf{q}, \mathbf{0})$ , i punti di equilibrio sono della forma  $(\mathbf{q}, \dot{\mathbf{q}}) = (\mathbf{q}_0, \mathbf{0})$ , con

$$\mathbf{Q}(\mathbf{q}_0, \mathbf{0}) = \mathbf{0}. \quad (9.2)$$

I valori  $\mathbf{q}_0$ , soluzioni di (9.2), si chiamano **configurazioni di equilibrio**.

Se le forze attive derivano da un'energia potenziale generalizzata  $V(\mathbf{q}, \dot{\mathbf{q}}) = V_0(\mathbf{q}) + V_1(\mathbf{q}, \dot{\mathbf{q}})$ , con  $V_1(\mathbf{q}, \dot{\mathbf{q}}) = \mathbf{a}(\mathbf{q}) \cdot \dot{\mathbf{q}}$ , possiamo scrivere la lagrangiana

$$L(\mathbf{q}, \dot{\mathbf{q}}) = \frac{1}{2} \dot{\mathbf{q}} \cdot A(\mathbf{q}) \dot{\mathbf{q}} - V(\mathbf{q}, \dot{\mathbf{q}}).$$

In questo caso l'equazione

$$\frac{\partial V_0}{\partial \mathbf{q}}(\mathbf{q}_0) = 0 \quad (9.3)$$

definisce le configurazioni di equilibrio, infatti

$$\mathbf{Q} = \frac{d}{dt} \frac{\partial V_1}{\partial \dot{\mathbf{q}}} - \frac{\partial V_1}{\partial \mathbf{q}} - \frac{\partial V_0}{\partial \mathbf{q}}, \quad \mathbf{Q}(\mathbf{q}, \mathbf{0}) = \frac{\partial V_0}{\partial \mathbf{q}}(\mathbf{q}).$$

## 9.1 Linearizzazione attorno a un equilibrio

Considero un punto di equilibrio  $(\mathbf{q}_0, \mathbf{0})$  ed analizzo la sua stabilità linearizzando le equazioni (9.1) attorno ad esso.

Le equazioni linearizzate sono

$$\begin{cases} \dot{\mathbf{q}} = \mathbf{v} \\ \dot{\mathbf{v}} = A^{-1}(\mathbf{q}_0) \left[ \frac{\partial \mathbf{Q}}{\partial \mathbf{q}}(\mathbf{q}_0, \mathbf{0})(\mathbf{q} - \mathbf{q}_0) + \frac{\partial \mathbf{Q}}{\partial \dot{\mathbf{q}}}(\mathbf{q}_0, \mathbf{0})\dot{\mathbf{q}} \right] \end{cases} \quad (9.4)$$

Se le forze attive derivano dall'energia potenziale  $V(\mathbf{q}, \dot{\mathbf{q}}) = V_0(\mathbf{q}) + \mathbf{a}(\mathbf{q}) \cdot \dot{\mathbf{q}}$  si ha  $\mathbf{Q}(\mathbf{q}, \dot{\mathbf{q}}) = -\frac{\partial V_0}{\partial \mathbf{q}}(\mathbf{q}) + B\dot{\mathbf{q}}$  (vedi Sezione 7.4) e le equazioni linearizzate sono

$$\begin{cases} \dot{\mathbf{q}} = \mathbf{v} \\ \dot{\mathbf{v}} = -A^{-1}(\mathbf{q}_0) [V_0''(\mathbf{q}_0)(\mathbf{q} - \mathbf{q}_0) - B(\mathbf{q}_0)\dot{\mathbf{q}}] \end{cases} \quad (9.5)$$

dove  $B$  è antisimmetrica con componenti  $B_{ij} = \frac{\partial a_i}{\partial q_j} - \frac{\partial a_j}{\partial q_i}$ . Le (9.5) sono le equazioni di Lagrange per la funzione

$$\begin{aligned} L_0(\mathbf{q}, \dot{\mathbf{q}}) &= \frac{1}{2} \dot{\mathbf{q}} \cdot A(\mathbf{q}_0) \dot{\mathbf{q}} - V_0(\mathbf{q}_0) - \frac{1}{2} (\mathbf{q} - \mathbf{q}_0) \cdot V_0''(\mathbf{q}_0) (\mathbf{q} - \mathbf{q}_0) \\ &\quad - \left[ \mathbf{a}(\mathbf{q}_0) + \frac{\partial \mathbf{a}}{\partial \mathbf{q}}(\mathbf{q}_0) (\mathbf{q} - \mathbf{q}_0) \right] \cdot \dot{\mathbf{q}} \end{aligned} \quad (9.6)$$

che è lo sviluppo di Taylor al secondo ordine di  $L(\mathbf{q}, \dot{\mathbf{q}})$  in  $(\mathbf{q}_0, \mathbf{0})$ . Per verificare che le (9.5) corrispondono alle equazioni di Lagrange per  $L_0$  possiamo ignorare il termine  $-\mathbf{a}(\mathbf{q}_0) \cdot \dot{\mathbf{q}}$  e considerare la lagrangiana equivalente

$$\tilde{L}_0 = L_0 + \mathbf{a}(\mathbf{q}_0) \cdot \dot{\mathbf{q}}.$$

Dalle relazioni

$$\frac{\partial \tilde{L}_0}{\partial \dot{\mathbf{q}}} = A(\mathbf{q}_0) \dot{\mathbf{q}} - \frac{\partial \mathbf{a}}{\partial \mathbf{q}}(\mathbf{q}_0) (\mathbf{q} - \mathbf{q}_0), \quad \frac{\partial \tilde{L}_0}{\partial \mathbf{q}} = -V_0''(\mathbf{q}_0) (\mathbf{q} - \mathbf{q}_0) - \left[ \frac{\partial \mathbf{a}}{\partial \mathbf{q}}(\mathbf{q}_0) \right]^T \dot{\mathbf{q}}$$

si ottiene

$$\frac{d}{dt} \frac{\partial \tilde{L}_0}{\partial \dot{\mathbf{q}}} - \frac{\partial \tilde{L}_0}{\partial \mathbf{q}} = A(\mathbf{q}_0) \ddot{\mathbf{q}} - \left( \frac{\partial \mathbf{a}}{\partial \mathbf{q}}(\mathbf{q}_0) - \left[ \frac{\partial \mathbf{a}}{\partial \mathbf{q}}(\mathbf{q}_0) \right]^T \right) \dot{\mathbf{q}} + V_0''(\mathbf{q}_0) (\mathbf{q} - \mathbf{q}_0),$$

che dimostra che le equazioni di Lagrange per  $\tilde{L}_0$  corrispondono alle (9.5).

Nel caso particolare in cui  $V = V_0$  si ottiene

$$L_0(\mathbf{q}, \dot{\mathbf{q}}) = \frac{1}{2} \dot{\mathbf{q}} \cdot A(\mathbf{q}_0) \dot{\mathbf{q}} - \frac{1}{2} (\mathbf{q} - \mathbf{q}_0) \cdot V''(\mathbf{q}_0) (\mathbf{q} - \mathbf{q}_0) . \quad (9.7)$$

Le equazioni di Lagrange per (9.7) sono

$$A(\mathbf{q}_0) \ddot{\mathbf{q}} + V''(\mathbf{q}_0) (\mathbf{q} - \mathbf{q}_0) = \mathbf{0} \quad (9.8)$$

e si possono scrivere come

$$\begin{bmatrix} \dot{\boldsymbol{\xi}} \\ \dot{\boldsymbol{\eta}} \end{bmatrix} = \Lambda(\mathbf{q}_0) \begin{bmatrix} \boldsymbol{\xi} \\ \boldsymbol{\eta} \end{bmatrix} , \quad (9.9)$$

con

$$\Lambda(\mathbf{q}_0) = \begin{bmatrix} \mathbf{0} & I \\ -A^{-1}V''(\mathbf{q}_0) & \mathbf{0} \end{bmatrix} , \quad \begin{bmatrix} \boldsymbol{\xi} \\ \boldsymbol{\eta} \end{bmatrix} = \begin{bmatrix} \mathbf{q} - \mathbf{q}_0 \\ \dot{\mathbf{q}} \end{bmatrix} .$$

In questo caso la matrice del sistema linearizzato ha autovalori che dipendono solo dagli autovalori di  $A^{-1}V''(\mathbf{q}_0)$ . Siccome  $A(\mathbf{q}_0)$ ,  $V''(\mathbf{q}_0)$  sono simmetriche, con  $A$  definita positiva, sappiamo (vedi Sezione 9.7) che gli autovalori  $\lambda_h$  di  $A^{-1}V''(\mathbf{q}_0)$  sono reali e che possiamo trovare una base di autovettori  $\mathcal{B} = \{\mathbf{u}_h\}_{h=1\dots n}$  ortonormali rispetto al prodotto scalare definito da  $A(\mathbf{q}_0)$ , cioè tali che

$$\mathbf{u}_h \cdot A(\mathbf{q}_0) \mathbf{u}_k = \delta_{hk} .$$

Tali autovalori si possono calcolare risolvendo l'**equazione secolare**

$$\det(V''(\mathbf{q}_0) - \lambda A(\mathbf{q}_0)) = 0 ,$$

evitando quindi di calcolare  $A^{-1}(\mathbf{q}_0)$ . Inoltre si ha

$$\mathbf{u}_h \cdot V''(\mathbf{q}_0) \mathbf{u}_k = \mathbf{u}_h \cdot \lambda_k A(\mathbf{q}_0) \mathbf{u}_k = \lambda_k \delta_{hk} ,$$

cioè nella base  $\mathcal{B}$  entrambe le matrici  $A(\mathbf{q}_0)$ ,  $V''(\mathbf{q}_0)$  sono in forma diagonale.

Se  $\{\lambda_h\}_{h=1\dots n}$ , sono gli autovalori di  $A^{-1}V''(\mathbf{q}_0)$  allora gli autovalori di  $\Lambda(\mathbf{q}_0)$  sono

$$\pm \sqrt{-\lambda_h}, \quad h = 1 \dots n .$$

In particolare, se  $\lambda_k < 0$  per qualche  $k$  allora  $(\mathbf{q}_0, \mathbf{0})$  è instabile perché il sistema (9.9) ha un esponente di Lyapounov positivo.

Se  $\lambda_h > 0$  per  $h = 1 \dots n$  allora gli esponenti di Lyapounov sono tutti nulli ed il metodo di linearizzazione non ci permette di concludere sulla stabilità di  $\mathbf{q}_0$ . In questo caso possiamo usare il metodo della funzione di Lyapounov, come discusso nella prossima sezione.

## 9.2 Il teorema di Lagrange-Dirichlet

Si consideri un punto di equilibrio  $\mathbf{x}_0$  del sistema di equazioni differenziali

$$\dot{\mathbf{x}} = \mathbf{F}(\mathbf{x}), \quad \mathbf{x} \in \mathbb{R}^n. \quad (9.10)$$

**Definizione 23.** Una funzione  $f \in C^1(U; \mathbb{R})$ , definita in un intorno  $U$  di un punto di equilibrio  $\mathbf{x}_0$  di (9.10), è una funzione di Lyapounov per  $\mathbf{x}_0$  se valgono le seguenti proprietà:

- i)  $f(\mathbf{x}) > f(\mathbf{x}_0)$  per ogni  $\mathbf{x} \in U \setminus \{\mathbf{x}_0\}$ ;
- ii)  $\frac{d}{dt}f(\mathbf{x}) \leq 0$  per ogni  $\mathbf{x} \in U$ .

Vale il seguente risultato:

**Teorema 5.** (Lyapounov) Se un punto di equilibrio ammette una funzione di Lyapounov, allora è stabile.

*Dimostrazione.* ... □

**Teorema 6.** Considero il sistema lagrangiano definito da

$$L(\mathbf{q}, \dot{\mathbf{q}}) = \frac{1}{2} \dot{\mathbf{q}} \cdot A(\mathbf{q}) \dot{\mathbf{q}} - V_0(\mathbf{q}) - V_1(\mathbf{q}, \dot{\mathbf{q}}). \quad (9.11)$$

Se  $\mathbf{q}_0$  è un minimo locale stretto di  $V_0$  allora è una configurazione di equilibrio stabile.

*Dimostrazione.* Si osserva che  $\mathbf{q}_0$  è una configurazione di equilibrio in quanto soddisfa (9.3). Siccome la lagrangiana (9.11) non dipende da  $t$ , allora la funzione

$$J(\mathbf{q}, \dot{\mathbf{q}}) = \frac{1}{2} \dot{\mathbf{q}} \cdot A(\mathbf{q}) \dot{\mathbf{q}} + V_0(\mathbf{q}).$$

è un integrale primo delle equazioni di Lagrange per  $L$  (integrale di Jacobi). Inoltre  $(\mathbf{q}_0, \mathbf{0})$  è un punto di minimo locale stretto per  $J(\mathbf{q}, \dot{\mathbf{q}})$ , quindi si può usare  $J(\mathbf{q}, \dot{\mathbf{q}})$  come funzione di Lyapounov relativa al punto  $(\mathbf{q}, \dot{\mathbf{q}}) = (\mathbf{q}_0, \mathbf{0})$  restringendola ad un opportuno intorno di tale punto. □

## 9.3 Analisi della stabilità dei sistemi lagrangiani

Nel caso in cui le forze generalizzate siano conservative, con energia potenziale  $V = V_0(\mathbf{q})$ , l'analisi del solo spettro di  $V''(\mathbf{q}_0)$ , dove  $\mathbf{q}_0$  è una configurazione di equilibrio, ci può permettere di studiare la stabilità dei punti di equilibrio di (9.9).

Se  $V''(\mathbf{q}_0)$  ha tutti gli autovalori positivi allora  $\mathbf{q}_0$  è un minimo stretto (non degenero) di  $V$ , quindi il punto  $(\mathbf{q}_0, \mathbf{0})$  è stabile per il teorema di Lagrange-Dirichlet.

Se  $V''(\mathbf{q}_0)$  ha un autovalore  $\mu < 0$  con autovettore  $\mathbf{v}$ , sia  $\mathbf{v} = \sum_h v_h \mathbf{u}_h$  l'espressione di  $\mathbf{v}$  come combinazione lineare degli elementi della base  $\mathcal{B}$ . Allora

$$\begin{aligned} 0 > \mu |\mathbf{v}|^2 &= \mathbf{v} \cdot V''(\mathbf{q}_0) \mathbf{v} = \sum_{h,k=1}^n v_h v_k \mathbf{u}_h \cdot V''(\mathbf{q}_0) \mathbf{u}_k = \sum_{h,k=1}^n v_h v_k \lambda_k \mathbf{u}_h \cdot A(\mathbf{q}_0) \mathbf{u}_k = \\ &= \sum_{h,k=1}^n v_h v_k \lambda_k \delta_{hk} = \sum_{h=1}^n v_h^2 \lambda_h, \end{aligned}$$

quindi esiste  $k$  con  $\lambda_k < 0$  ed il punto  $(\mathbf{q}_0, \mathbf{0})$  è instabile.

## 9.4 Stabilizzazione con termini girostatici

Se le componenti lagrangiane delle forze attive ammettono un'energia potenziale generalizzata  $V(\mathbf{q}, \dot{\mathbf{q}}, t) = V_0(\mathbf{q}, t) + V_1(\mathbf{q}, \dot{\mathbf{q}}, t)$  è possibile che un punto di massimo di  $V_0$  sia stabile: infatti la presenza del termine  $V_1$  modifica lo spettro del linearizzato, anche se non modifica gli equilibri. Questo fenomeno si chiama **stabilizzazione girostatica**.

**Esempio 17.** (*oscillatore armonico in un riferimento rotante*)

Fissiamo un sistema di riferimento  $\Sigma = O \hat{\mathbf{e}}_1 \hat{\mathbf{e}}_2 \hat{\mathbf{e}}_3$  in  $\mathbb{R}^3$ . Consideriamo un punto materiale di massa  $m$  collegato all'origine  $O$  del riferimento da una molla di costante elastica  $k$ . Scegliamo delle condizioni iniziali  $\mathbf{x}_0, \dot{\mathbf{x}}_0$  per il punto al tempo  $t = 0$ . Siccome il campo di forze è centrale, dalla conservazione del momento angolare sappiamo che il moto è piano. Possiamo quindi orientare il riferimento  $\Sigma$  in modo tale che, per queste condizioni iniziali, il moto avvenga nel piano  $Oxy$ . Consideriamo adesso un riferimento  $\Sigma' = O' \hat{\mathbf{e}}'_1 \hat{\mathbf{e}}'_2 \hat{\mathbf{e}}'_3$ , con  $O' = O$ , e con velocità angolare costante  $\vec{\omega} = \omega \hat{\mathbf{e}}_3$ ,  $\omega \neq 0$ , rispetto a  $\Sigma$ .

La stabilità dell'origine per l'oscillatore armonico è nota a priori in  $\Sigma$ , e vale anche in  $\Sigma'$ . Introduciamo coordinate cartesiane  $\mathbf{q} \in \mathbb{R}^3$  relative a  $\Sigma'$  e studiamo la stabilità dell'equilibrio  $\mathbf{q}_0 = \mathbf{0}$  nel riferimento rotante con il metodo della linearizzazione.

L'energia potenziale, tenendo conto delle forze apparenti, è

$$V(\mathbf{q}, \dot{\mathbf{q}}) = \frac{1}{2} k |\mathbf{q}|^2 - \frac{1}{2} m |\boldsymbol{\omega} \times \mathbf{q}|^2 + m \mathbf{q} \cdot \boldsymbol{\omega} \times \dot{\mathbf{q}} = \frac{1}{2} \mathbf{q} \cdot (kI + m\Omega^2) \mathbf{q} + m \mathbf{q} \cdot \boldsymbol{\omega} \times \dot{\mathbf{q}}, \quad (9.12)$$

con

$$\Omega = \begin{pmatrix} 0 & -\omega & 0 \\ \omega & 0 & 0 \\ 0 & 0 & 0 \end{pmatrix}.$$

Possiamo scrivere la (9.12) come  $V = V_0 + V_1$ , con  $V_j$  omogenea di grado  $j$  in  $\dot{\mathbf{q}}$ .

Gli equilibri (in questo caso solo  $\mathbf{q}_0 = \mathbf{0}$ ) si ottengono cercando i punti critici di  $V_0$ . Se  $\omega^2 > \frac{k}{m}$  allora  $V_0''$  ha autovalori negativi, quindi se considerassimo solo il termine  $V_0$  per lo studio della stabilità si otterrebbe che l'origine è instabile.

Includiamo adesso anche  $V_1$  nello studio della stabilità. Le equazioni del moto corrispondenti all'energia potenziale (9.12) si scrivono

$$\ddot{\mathbf{q}} = -\frac{k}{m}\mathbf{q} - \boldsymbol{\omega} \times (\boldsymbol{\omega} \times \mathbf{q}) - 2\boldsymbol{\omega} \times \dot{\mathbf{q}}$$

oppure, come sistema del primo ordine,

$$\begin{pmatrix} \dot{\mathbf{q}} \\ \dot{\mathbf{v}} \end{pmatrix} = \Lambda \begin{pmatrix} \mathbf{q} \\ \mathbf{v} \end{pmatrix}, \quad \Lambda = \begin{bmatrix} 0 & I \\ -(\frac{k}{m}I + \Omega^2) & -2\Omega \end{bmatrix}.$$

Dato che la terza componente di  $\mathbf{q}$  e di  $\dot{\mathbf{q}}$  è identicamente nulla, possiamo descrivere il moto con il sistema

$$\begin{pmatrix} \dot{\mathbf{z}} \\ \dot{\mathbf{w}} \end{pmatrix} = \Gamma \begin{pmatrix} \mathbf{z} \\ \mathbf{w} \end{pmatrix}, \quad \Gamma = \begin{bmatrix} 0 & I \\ \beta I & -2\omega J \end{bmatrix},$$

dove

$$\mathbf{z} = (q_1, q_2)^T, \quad \beta = \omega^2 - \frac{k}{m}, \quad J = \begin{bmatrix} 0 & -1 \\ 1 & 0 \end{bmatrix}.$$

Gli autovalori di  $\Gamma$  si ottengono dall'equazione

$$|\Gamma - \lambda I| = \lambda^4 + 2(2\omega^2 - \beta)\lambda^2 + \beta^2 = 0. \quad (9.13)$$

Il discriminante è

$$\Delta = 16\omega^2(\omega^2 - \beta) = 16\omega^2 \frac{k}{m} > 0,$$

quindi le radici  $\lambda^2$  di (9.13) sono reali e distinte. Inoltre, dato che  $2\omega^2 > \beta$ , per la regola dei segni di Cartesio le radici  $\lambda^2$  sono negative o nulle e gli autovalori di  $\Gamma$  sono immaginari puri o nulli:

$$\lambda_{1,2} = \pm i\omega, \quad \lambda_{3,4} = \pm i\omega', \quad \omega' \neq \omega.$$

Da questa analisi spettrale non possiamo concludere la stabilità dell'origine, però non possiamo nemmeno escluderla.

**Osservazione 24.** L'esempio precedente mostra che nel teorema di Lagrange-Dirichlet l'ipotesi che  $\mathbf{q}_0$  sia un punto di minimo stretto per  $V_0$  è una condizione sufficiente, ma non necessaria, per la stabilità di  $q_0$ .

## 9.5 Piccole oscillazioni attorno a un equilibrio stabile

Assumiamo che la lagrangiana abbia la forma

$$L = T_2 - V_0,$$

e che  $\mathbf{q}_0$  sia un minimo non degenere di  $V_0$ .

Calcolo gli autovalori generalizzati  $\lambda_h$ ,  $h = 1 \dots n$ , soluzioni di

$$\det(V''(\mathbf{q}_0) - \lambda A(\mathbf{q}_0)) = 0.$$

La soluzione generale del sistema (9.8) è

$$\mathbf{q}(t) = \mathbf{q}_0 + \sum_{h=0}^n c_h \cos(\omega_h t + \phi_h) \mathbf{u}_h$$

con  $c_h \geq 0$ ,  $\phi_h \in S^1$ ,  $\omega_h = \sqrt{\lambda_h} > 0$ .

Le quantità  $\omega_h$  si chiamano **frequenze proprie** del sistema e le famiglie di soluzioni particolari

$$c_h \cos(\omega_h t + \phi_h) \mathbf{u}_h, \quad h = 1 \dots n$$

si chiamano **modi normali** di oscillazione attorno all'equilibrio  $\mathbf{q}_0$ .

## 9.6 Alcuni esempi

**Esempio 18.** *Si consideri il sistema meccanico in Figura 9.1. Calcolare tutti gli equilibri e studiarne la stabilità al variare dei parametri.*

L'energia potenziale è data da

$$V(\theta, \phi) = 2k_1(\cos \phi - \cos \theta) - k_2 \cos(\phi - \theta)$$

Gli equilibri sono le soluzioni di

$$\begin{aligned} \frac{\partial V}{\partial \theta}(\theta, \phi) &= 2k_1 \sin \theta - k_2 \sin(\phi - \theta) = 0 \\ \frac{\partial V}{\partial \phi}(\theta, \phi) &= -2k_1 \sin \phi + k_2 \sin(\phi - \theta) = 0 \end{aligned}$$

Sommando le due equazioni si ha

$$\sin \theta = \sin \phi \tag{9.14}$$

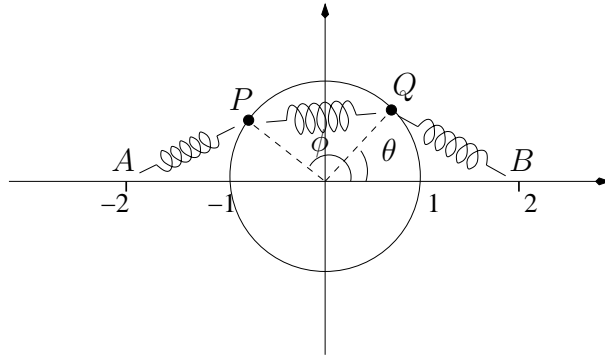


Figura 9.1:

e sostituendo nella prima

$$\sin \theta [2k_1 + k_2(\cos \phi - \cos \theta)] = 0$$

Abbiamo quindi le quattro configurazioni di equilibrio

$$(\theta, \phi) = (0, 0); \quad (0, \pi); \quad (\pi, 0); \quad (\pi, \pi)$$

e, se  $k_1 < k_2$ , anche le due configurazioni  $(\theta, \phi) = (\bar{\theta}, \bar{\phi})$ , con  $\bar{\theta}$  soluzione di  $\cos \theta = k_1/k_2$  e  $\bar{\phi} = \pi - \bar{\theta}$ . Studiamo la stabilità di questi equilibri. Le derivate seconde di  $V$  sono

$$\begin{aligned} \frac{\partial^2 V}{\partial \theta^2}(\theta, \phi) &= 2k_1 \cos \theta + k_2 \cos(\phi - \theta) \\ \frac{\partial^2 V}{\partial \phi \partial \theta}(\theta, \phi) &= -k_2 \cos(\phi - \theta) \\ \frac{\partial^2 V}{\partial \phi^2}(\theta, \phi) &= -2k_1 \cos \phi + k_2 \cos(\phi - \theta) \end{aligned}$$

$$\begin{aligned} V''(0, 0) &= \begin{bmatrix} 2k_1 + k_2 & -k_2 \\ -k_2 & -2k_1 + k_2 \end{bmatrix}, & V''(0, \pi) &= \begin{bmatrix} 2k_1 - k_2 & k_2 \\ k_2 & 2k_1 - k_2 \end{bmatrix}, \\ V''(\pi, 0) &= \begin{bmatrix} -2k_1 - k_2 & k_2 \\ k_2 & -2k_1 - k_2 \end{bmatrix}, & V''(\pi, \pi) &= \begin{bmatrix} -2k_1 + k_2 & k_2 \\ k_2 & 2k_1 + k_2 \end{bmatrix}, \end{aligned}$$

da cui

$$\begin{aligned} \det V''(0, 0) &= -4k_1^2, & \det V''(\pi, \pi) &= -4k_1^2, \\ \det V''(0, \pi) &= 4k_1(k_1 - k_2), & \text{tr} V''(0, \pi) &= 2(2k_1 - k_2), \\ \det V''(\pi, 0) &= 4k_1(k_1 + k_2), & \text{tr} V''(\pi, 0) &= -2(2k_1 + k_2). \end{aligned}$$

Si ottiene che  $(0, 0)$ ,  $(\pi, 0)$ ,  $(\pi, \pi)$  sono instabili. Siccome  $\text{tr} V''(0, \pi) > 0$ , la configurazione  $(0, \pi)$  è stabile se  $k_1 > k_2$ , instabile se  $k_1 < k_2$ .



Inoltre, osservando che  $\cos(\bar{\phi} - \bar{\theta}) = \cos(\pi - 2\bar{\theta}) = -\cos^2 \bar{\theta} + \sin^2 \bar{\theta}$  si ottiene

$$V''(\bar{\theta}, \pi - \bar{\theta}) = V''(-\bar{\theta}, \pi + \bar{\theta}) = \begin{bmatrix} \frac{k_1^2}{k_2} + k_2 \sin^2 \bar{\theta} & \frac{k_1^2}{k_2} - k_2 \sin^2 \bar{\theta} \\ \frac{k_1^2}{k_2} - k_2 \sin^2 \bar{\theta} & \frac{k_1^2}{k_2} + k_2 \sin^2 \bar{\theta} \end{bmatrix},$$

da cui

$$\det V''(\bar{\theta}, \pi - \bar{\theta}) = 4k_1^2 \sin^2 \bar{\theta} > 0.$$

Si osserva che c'è una biforcazione per  $k_1 = k_2$ : l'equilibrio  $(\theta, \phi) = (0, \pi)$  da stabile diventa instabile e nascono due nuovi equilibri stabili  $(\theta, \phi) = (\bar{\theta}, \pi - \bar{\theta}), (\pi - \bar{\theta}, \bar{\theta})$ .

**Esempio 19.** Nel piano  $Oxy$  si consideri il sistema meccanico formato da  $n$  punti materiali  $P_1 \dots P_n$  di ugual massa  $m$ . Il punto  $P_i$  è vincolato a muoversi sulla retta  $x = i$ ,  $i = 1 \dots n$ . Inoltre ogni  $P_i$  è collegato ai punti  $P_{i-1}$  e  $P_{i+1}$  da due molle di costante elastica  $k$ , dove si è posto  $P_0 \equiv (0, 0), P_{n+1} \equiv (n+1, 0)$ . Si usano come coordinate i valori  $q_i = y_i, i = 1 \dots n$  delle ordinate dei punti  $P_i$ . Scrivere le equazioni di Lagrange, trovare i punti di equilibrio e studiarne la stabilità.

L'energia cinetica e potenziale del sistema sono

$$T = \frac{1}{2}m \sum_{h=1}^n \dot{q}_h^2, \quad V = \frac{1}{2}k \sum_{h=0}^n |P_{h+1} - P_h|^2 = \frac{1}{2}k \sum_{h=0}^n (q_{h+1} - q_h)^2 + \text{costante}$$

dove  $q_0 = q_{n+1} = 0$ .

Dimostriamo che l'unica configurazione di equilibrio è  $(y_1, \dots, y_n) = (0, \dots, 0)$ . Gli equilibri sono soluzioni di

$$V_{q_h} = -k(q_{h+1} - 2q_h + q_{h-1}) = 0, \quad h = 1 \dots n.$$

Otengo il sistema lineare  $M\mathbf{q} = 0$ , con

$$M = \begin{bmatrix} 2 & -1 & 0 & \dots & 0 \\ -1 & 2 & -1 & \ddots & 0 \\ 0 & -1 & 2 & \ddots & 0 \\ \vdots & & \ddots & \ddots & -1 \\ 0 & \dots & 0 & -1 & 2 \end{bmatrix}$$

Sia  $\lambda$  un autovalore di  $M$ , con autovettore  $\mathbf{v}$ . Allora

$$\mathbf{v} \cdot M\mathbf{v} = 2 \left( \sum_{h=1}^n v_h^2 - \sum_{h=1}^n v_{h+1}v_h \right) = [(v_1 - v_2)^2 + \dots + (v_{n-1} - v_n)^2 + v_1^2 + v_n^2] \geq 0$$

ed è nullo solo se  $\mathbf{v} = \mathbf{0}$ . Questo ci dice che  $M$  è definita positiva, quindi  $\mathbf{q} = \mathbf{0}$  è l'unica soluzione di  $M\mathbf{q} = 0$ .

Tale configurazione di equilibrio è stabile, come si vede applicando il teorema di Lagrange-Dirichlet, dato che  $V$  ha sicuramente un minimo stretto in  $\mathbf{q} = \mathbf{0}$ . Gli autovalori della matrice hessiana  $V'' = -kM$  sono tutti positivi e distinti.

## 9.7 Diagonalizzazione simultanea di forme quadratiche

Considero le forme quadratiche

$$a(\mathbf{x}) = \mathbf{x} \cdot A\mathbf{x}, \quad b(\mathbf{x}) = \mathbf{x} \cdot B\mathbf{x}, \quad \mathbf{x} \in \mathbb{R}^n$$

con  $A, B$  matrici di ordine  $n$  simmetriche,  $A$  definita positiva. L'insieme di livello

$$\mathcal{E}_A = \{\mathbf{x} \in \mathbb{R}^n : a(\mathbf{x}) = 1\}$$

è un ellissoide, quindi è compatto. Dunque esiste  $\mathbf{x}_1 \in \mathcal{E}_A$  tale che

$$b(\mathbf{x}_1) = \min_{\mathbf{x} \in \mathcal{E}_A} b(\mathbf{x}).$$

Il vettore  $\mathbf{x}_1$  è un punto stazionario di  $b(\mathbf{x})$ , vincolato a  $\mathcal{E}_A$ . Dal metodo dei moltiplicatori di Lagrange si ottiene

$$B\mathbf{x}_1 = \lambda_1^{(1)} A\mathbf{x}_1, \quad \mathbf{x}_1 \cdot A\mathbf{x}_1 = 1,$$

per cui  $\mathbf{x}_1 \in \mathcal{E}_A$  è autovettore di  $A^{-1}B$  con autovalore  $\lambda_1^{(1)} = b(\mathbf{x}_1)$ .

Sia  $\mathcal{S}^{n-1} = \mathbf{x}_1^\perp$  il sottospazio di dimensione  $n-1$  costituito dai vettori di  $\mathbb{R}^n$  ortogonali a  $\mathbf{x}_1$  rispetto al prodotto scalare definito da  $A$ . Denoto con  $\mathcal{E}_A^{n-2} = \mathcal{E}_A \cap \mathcal{S}^{n-1}$  l'ellissoide di dimensione  $n-2$  e cerco  $\mathbf{x}_2$  tale che

$$b(\mathbf{x}_2) = \min_{\mathbf{x} \in \mathcal{E}_A^{n-2}} b(\mathbf{x}).$$

Dal metodo dei moltiplicatori di Lagrange

$$B\mathbf{x}_2 = \lambda_2^{(2)} A\mathbf{x}_2 + \lambda_1^{(2)} A\mathbf{x}_1, \quad \mathbf{x}_2 \cdot A\mathbf{x}_2 = 1, \quad \mathbf{x}_2 \cdot A\mathbf{x}_1 = 0. \quad (9.15)$$

Moltiplicando scalarmente per  $\mathbf{x}_1$  la prima delle (9.15) e usando la simmetria di  $A$  e  $B$  si ottiene

$$\lambda_1^{(2)} = \mathbf{x}_1 \cdot B\mathbf{x}_2 = \mathbf{x}_2 \cdot B\mathbf{x}_1 = \lambda_1^{(1)} \mathbf{x}_2 \cdot A\mathbf{x}_1 = 0,$$

per cui  $\mathbf{x}_2 \in \mathcal{E}_A^{n-2}$  è autovettore di  $A^{-1}B$  con autovalore  $\lambda_2^{(2)} = b(\mathbf{x}_2)$ . Tale procedimento si può iterare cercando per ogni  $k = 3 \dots n$  un vettore  $\mathbf{x}_k \in \mathbb{R}^n$  tale che

$$b(\mathbf{x}_k) = \min_{\mathbf{x} \in \mathcal{E}_A^{n-k}} b(\mathbf{x}),$$

con  $\mathcal{E}_A^{n-k} = \mathcal{E}_A \cap \mathcal{S}^{n-k+1}$ , ed  $\mathcal{S}^{n-k+1}$  il sottospazio di dimensione  $n-k+1$  costituito dai vettori di  $\mathbb{R}^n$  ortogonali a  $\mathbf{x}_1, \dots, \mathbf{x}_{k-1}$  rispetto al prodotto scalare definito da  $A$ .

## 9.8. EQUILIBRI RELATIVI NEL PROBLEMA DEI 3 CORPI RISTRETTO CIRCOLARE PIANO 13

In questo modo trovo una base  $\mathcal{B} = \{\mathbf{x}_1, \dots, \mathbf{x}_n\}$  di autovettori di  $A^{-1}B$  ortonormali rispetto al prodotto scalare definito da  $A$ , con autovalori reali

$$\lambda_1 = b(\mathbf{x}_1), \quad \lambda_2 = b(\mathbf{x}_2), \quad \dots \quad \lambda_n = b(\mathbf{x}_n),$$

dove  $\lambda_j = \lambda_j^{(j)}$ . Per calcolare esplicitamente gli autovalori  $\lambda_j$  si risolve l'equazione secolare

$$\det(B - \lambda A) = 0 .$$

Denoto con  $U$  la trasposta della matrice che ha come colonne i vettori della base  $\mathcal{B}$ . Osservo che si ha

$$U^T A U = I, \quad U^T B U = \text{diag}(\lambda_1 \dots \lambda_n), \quad (9.16)$$

infatti  $\mathbf{x}_i \cdot A \mathbf{x}_j = \delta_{ij}$  e  $\mathbf{x}_i \cdot B \mathbf{x}_j = \lambda_j \mathbf{x}_i \cdot A \mathbf{x}_j = \lambda_j \delta_{ij}$ .

## 9.8 Equilibri relativi nel problema dei 3 corpi ristretto circolare piano

Scegliendo le unità di misura in modo che

$$m_1 + m_2 = 1, \quad |P_1 - P_2| = 1, \quad G = 1$$

si ottiene la lagrangiana indipendente dal tempo

$$L(q_1, q_2, \dot{q}_1, \dot{q}_2) = \frac{1}{2}(\dot{q}_1^2 + \dot{q}_2^2) - V(q_1, q_2)$$

dove

$$V(q_1, q_2) = -\frac{1}{2}(q_1^2 + q_2^2) - (q_1 \dot{q}_2 - q_2 \dot{q}_1) - \frac{1-m}{r_1} - \frac{m}{r_2},$$

con

$$r_1 = \sqrt{(q_1 - m)^2 + q_2^2}, \quad r_2 = \sqrt{(q_1 - 1 + m)^2 + q_2^2}.$$

Posso anche scrivere

$$L(q_1, q_2, \dot{q}_1, \dot{q}_2) = \frac{1}{2}((\dot{q}_1 - q_2)^2 + (\dot{q}_2 + q_1)^2) - U(q_1, q_2)$$

$$U(q_1, q_2) = -\frac{1-m}{r_1} - \frac{m}{r_2}.$$

EQUAZIONI DI LAGRANGE

$$\ddot{q}_1 - 2\dot{q}_2 = -\bar{U}_{q_1}, \quad \ddot{q}_2 + 2\dot{q}_1 = -\bar{U}_{q_2},$$

dove

$$\bar{U}(q_1, q_2) = -\frac{1}{2}(q_1^2 + q_2^2) + U(q_1, q_2)$$

Siccome la lagrangiana non dipende dal tempo, abbiamo l'integrale di Jacobi

$$J(q_1, q_2, \dot{q}_1, \dot{q}_2) = \frac{1}{2}(\dot{q}_1^2 + \dot{q}_2^2) + \bar{U}(q_1, q_2)$$

Considero l'insieme di livello

$$\mathcal{M}_{m,h} = \{(q_1, q_2, \dot{q}_1, \dot{q}_2) | J(q_1, q_2, \dot{q}_1, \dot{q}_2) = h\}$$

REGIONI DI HILL

Proiezione di  $\mathcal{M}_{m,h}$  sullo spazio delle configurazioni nel sistema rotante:

$$M_{m,h} = \{(q_1, q_2) | \bar{U}(q_1, q_2) \leq h\}$$

La frontiera  $\partial M_{m,h}$  è costituita dalle curve a velocità zero.